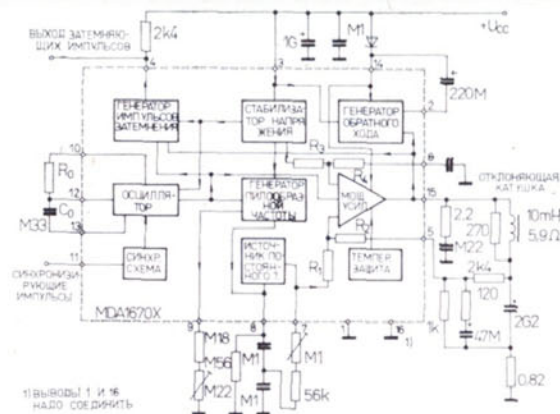


МОНОЛИТНАЯ ОБЪЕДИНЕННАЯ СХЕМА ДЛЯ ЦЕПЕЙ ВЕРТИКАЛЬНОЙ РАЗВЕРТКИ ВЫСОКОЙ ЭФФЕКТИВНОСТИ, СЛУЖАЩИХ ДЛЯ НЕПОСРЕДСТВЕННОГО ВОЗБУЖДЕНИЯ БЛОКОВ ОТКЛОНЕНИЯ 110° В ПРИЁМНИКАХ ЦВЕТНОГО И ЧЁРНО-БЕЛОГО ТЕЛЕВИДЕНИЯ, МОНИТОРАХ И В БЛОКАХ ИЗОБРАЖЕНИЯ.

Предельные значения:

Напряжение питания на выводе 03	U_{CC}	max.	35	V
Пиковое напряжение возвратного хода	U_{15}, U_{14M}	max.	60	V
Входное синхронизирующее напряжение	U_{11}	max.	20	V
Входное напряжение усилителя мощности	U_6, U_5	max.	$U_{CC} - 10$	V
Напряжение вывода 04	U_4	max.	U_{CC}	V
Пиковый выходной ток $t = 2 \text{ ms}$, неповторимый	I_{OM}	max.	3	A
$f = 50 \text{ Hz}$, $t \leq 10 \mu\text{s}$	I_{OM}	max.	2	A
$f = 50 \text{ Hz}$, $t \leq 10 \mu\text{s}$	I_{OM}	max.	3,5	A
Ток возвратного хода (вывод 02), $f = 50 \text{ Hz}$, $t_{zp} \leq 1,5 \text{ ms}$	$I_{2 \text{ M/M}}$	max.	3	A
Постоянный ток вывода 02 $U_{15} \leq U_3$	I_2	max.	100	mA
Мощность потерь $\vartheta_c \leq 60 \text{ }^\circ\text{C}$	P_{tot}	max.	18	W
Диапазон рабочей температуры перехода	ϑ_j	min.-max.	-40... +155	$^\circ\text{C}$
Диапазон температур хранения	ϑ_{stg}	min.-max.	-40... +155	$^\circ\text{C}$



- Включение выводов (вид сверху)
- 1 — точка заземления мощная
 - 2 — генератор возвратного хода
 - 3 — положитель. напряж. питания
 - 4 — затемняющий выход
 - 5 — вход усилителя (-)
 - 6 — вход усилителя (+)
 - 7 — выход генератора пилообразных сигналов
 - 8 — генератор пилообр. сигналов
 - 9 — установка амплитуды
 - 10 — осцилятор
 - 11 — синхронизирующий вход
 - 12, 13 — осцилятор
 - 14 — питание
 - 15 — выход усилителя
 - 16 — точка заземления сигналов (необходимо соединить с выводом 1)

КОРПУС: Ю-14

Характеристические данные:		$\vartheta_a = 25 \text{ }^\circ\text{C}$, $U_{CC} = 35 \text{ V}$, если не приводится иначе		
Основные значения:		ном. знач.	мин.-макс.	
Ток покоя вывода 14 $I_{15} = 0$	I_{14}	25	≤ 36	
Ток генератора пилообразных сигналов				
- ток покоя, $U_8 = 0$	$-I_8$	0,02	≤ 1	
$U_8 = 0$, $-I_9 = 20 \mu\text{A}$	$-I_8$	20	18,5... 21,5	
Нелинейность генератора пилообразных сигналов $U_8 = 0 \dots 15 \text{ V}$, $-I_9 = 20 \mu\text{A}$	$ \Delta I_8/I_8 $	0,2	≤ 1	
Ток покоя вывода 03	I_3	25	≤ 45	
Выходное напряжение покоя $R_a = 2,2 \text{ k}\Omega$, $R_b = 1 \text{ k}\Omega$	U_{15}	17,8	16,4... 19,5	
$R_a = 390 \Omega$, $R_b = 1 \text{ k}\Omega$, $U_{CC} = 15 \text{ V}$	U_{15}	7,5	6,9... 7,1	
Выходное сатурационное напряжение				
- по отношению к земле $I_{15} = 1,2 \text{ A}$	U_{15L}	1	$\leq 1,4$	
- по отношению к питанию $-I_{15} = 1,2 \text{ A}$	U_{15H}	1,6	$\leq 2,2$	
Регулированное напряжение вывода 09 $-I_9 = 20 \mu\text{A}$	U_9	6,8	6,3... 7,2	
Опорное напряжение неинвертирующего входа усилителя (+)	U_6	4,4	4,1... 4,7	
Сатурирующее напряжение вывода 02 по отношению к земле, $I_2 = 20 \text{ mA}$	U_2	1	$\leq 1,5$	
Справочные данные: $U_{CC} = 24 \text{ V}$, $f = 50 \text{ Hz}$				
Плавающая земля осцилятора $U_{CC} = 35 \text{ V}$, $f = 0 \text{ Hz}$	U_{12}	0,45		
Изменение регулируемого напряжения в зависимости от изменения U_{CC} , $U_{CC} = 15 \text{ V} \rightarrow 35 \text{ V}$	$\Delta U_9/\Delta U_{CC}$	1		
Сатурирующее напряжение затемняющего выхода $U_{CC} = 35 \text{ V}$, $I_4 = 10 \text{ mA}$	U_4	0,35		
Ток питания $I_{Y \text{ M/M}} = 2 \text{ A}$	I_{CC}	295		
Напряжение возвратного хода $I_{Y \text{ M/M}} = 2 \text{ A}$	U_{15}	47		
Пилообразное напряжение осцилятора $I_{11} = 0$	$U_{13 \text{ M/M}}$	3,6		
$I_{11} = 100 \mu\text{A}$	$U_{13 \text{ M/M}}$	3,4		
Первоначальный уровень пилообразного напряжения на выводе 07	U_{7L}	1,85		
Продолжительность возвратного хода $I_{Y \text{ M/M}} = 2 \text{ A}$	t_{2b}	0,6		
Продолжительность затемняющего импульса $\vartheta_j = 75 \text{ }^\circ\text{C}$	t_{zp}	1,4		
Самопроизвольная частота				
$R_0 = 7,5 \text{ k}\Omega$, $C_0 = 330 \text{ nF}$, $\vartheta_j = 75 \text{ }^\circ\text{C}$	f_0	43,5		
$R_0 = 6,2 \text{ k}\Omega$, $C_0 = 330 \text{ nF}$, $\vartheta_j = 75 \text{ }^\circ\text{C}$	f_0	52,5		
Диапазон синхронизации $I_{11} = 100 \mu\text{A}$, $\vartheta_j = 75 \text{ }^\circ\text{C}$	Δf	16		
Температура перехода для активизации теплозащиты	ϑ_j	145		